

The World Has No Origin.

Author: ing. Dan C.M Visser, Almere, Nederland.

Date: 11 Mei 2021

Abstract.

In this article I summarize a new perception of the Universe, called the "Rotational Torus Hologram Universe (RTHU)", which is related to all of my articles in www.vixra.org/author/dan_visser. The RTHU predicts the Big Bang is not the origin of the Universe. The RTHU behaves like a "Hologram Carrousel". It is a bunch of materialized reality-holograms rotating as an inner torus, which is surrounded and intertwined by a dark energy second torus, while in each of these holograms the impression of a Big Bang-universe is performed. In an additional manuscript is also dimensionally shown how I modified the Einstein-equation by implementing a "Hologram Tensor". This DAN-Tensor predicts a dark matter force by "duo-bits", which replace and extend the Planck-boundary through "sub-quantum-kinetica". In this way gravity and dark gravity have become normal in the RTHU and offers an additional fifth-force and new movement in vacuum. This article and manuscript are authentically written in Dutch for the benefit of collectors, because I also make paintings, which are related to my new universe-ideology. The original manuscript is in my possession.

De Wereld Heeft Geen oorsprong.

Auteur: ing. Dan C.M Visser, Almere, Nederland.

Date: 11 Mei 2021

Mijn nieuwe heelal model.

Dit is een samenvatting van mijn nieuwe heelal-model, dat door mij Roterend Torus Hologram Universum (RTHU) is genoemd. Daarin is de Big Bang niet de oorsprong van het heelal. Het RTHU gedraagt zich als een "Hologram Carrousel". Dat houdt in dat gematerialiseerde hologrammen in een binnenste torus roteren, die is omgeven door een torus van donkere energie die ook door de binnenste torus heen loopt. Het 'carrousel-effect' houdt in dat die hologram-werelden elk de indruk geven van een Big Bang als oorsprong van het heelal. Maar in werkelijkheid bestaat die oorsprong dus niet in het RTHU. In samenhang hiermee heb ik in mijn manuscript de Einstein-vergelijking aangepast met het kwadraat van een "Hologram Tensor". Deze "Tdan-tensor" vervangt en breidt de Planckgrens uit tot de "Hologram Carrousel". Het levert een dubbele rotatie op van de Planck-energie in het RTHU. Maar zodra één rotatie stil gezet wordt, oftewel wordt weg gedeeld uit de formule dan komt de Einstein-vergelijking terug in de vorm van Big Bang-heelal. De "Hologram Tensor" omvat "duo-bits" die "sub-kwantum-kinetica" genereren waardoor donkere energie variabel wordt in plaats van constant is zoals in het Big Bang heelal. Hierdoor levert het RTHU een 5-de kracht die ik donkere materie kracht heb genoemd. Deze kracht sluit donkere materie deeltjes in een Big Bang-heelal uit, want het gaat in feite om deeltjes die 'versnellende krachtdeeltjes' zijn en de 5-de kracht variabel maken.

Waarom is het heelal-model anders dan voorheen?

De oorzaak is het laten meedoen van de Planckgrens en het gebied er onder. Daardoor doet er verfijnde dimensionele energie mee. Voorheen werd die buiten beschouwing gelaten. Vandaar dat ik een *Hologram Tensor* heb ingevoerd. Dat is een formule die de kinetica van de Planckgrens en het gebied er onder vervangt door een dynamiek van informatie die verfijnder is dan kwantum-informatie. Ik heb dus sub-kwantum-kinetica toegepast. Daarmee heb ik de Einstein-vergelijking aangepast. Het heelal is hiermee een verzameling van bereikbare parallelle heelallen geworden, zodat er een nieuw heelal-model ontstaat: "*De Hologram Carrousel*". Dit houdt in dat parallelle heelallen concreet meedoen in de fysica en kosmologie en niet meer als onwaarneembaar buiten het Big Bang-heelal beschouwd worden.

Duo-bits als sub-kwantum-informatie.

De Hologram Tensor breidt zwaartekracht uit met tijd en maakt het heelal groter. Het heelal krijgt daarbij ook de vorm van torus en ontstaat er rotatie van hologrammen. Dat heb ik in dit samenvattend overzicht met dimensionele uitwerkingen inzichtelijk gemaakt. Het hangt samen met mijn gedachten-experiment, waarin een groot en klein zwart-gat van elkaar weg- en naderbij worden geschaald. Dit is gedaan om geen kwantum-informatie te verliezen, maar ook geen verfijndere informatie te verliezen vanuit de Hologram Tensor. De informatie-verfijning heb ik "*duo-bits*" genoemd.

Donkere energie wordt variabel.

In de oude situatie van het uitdijende (platte) Big Bang-heelal vanuit een punt of kwantum-volume, komt er steeds meer energie bij om de totale vacuüm-energiedichtheid constant te houden. Maar waar die energie vandaan komt is niet te rijmen met de energie-conservering van een punt of kwantum-volume. Die energie zou van vóór de Big Bang hebben kunnen komen, maar dat is in strijd met de Big Bang- en kwantum-theorie. Mijn gedachten-experiment levert derhalve de kracht op die de constante donkere energie variabel kan maken als 5-de kracht.

Het RTHU model.

Ik vind het beter om te stellen dat er al extra energie in een ander systeemmodel aanwezig was en dat die verpakt zit in extra dimensies die niet het gevolg zijn van "snaren". Deze grotere hoeveelheid energie zou er al zijn volgens de kwantumtheorie (namelijk een factor 10 tot de macht 120 meer dan is berekend volgens de vacuüm-energiedichtheid van het Big Bang-heelal. maar het is onduidelijk hoe die benut kan worden. Mijn dimensionele uitwerking is die door sub-kwantum-kinetica gaan benutten.

Van het ene naar het andere hologram.

In de *Hologram Carrousel* krijgt het heelal er vrije dimensionele energie bij. Dat levert een kracht op die het mogelijk maakt om met extra dimensies via hologrammen buitenom de ruimtetijd van het Big Bang-heelal heen te reizen. De technologie daarvoor is er (nog) niet. Maar die komt er wel. En zal gebruik maken van roterend (variabel) verfijnde vacuüm. Daarmee gaat men van het ene naar het andere hologram. En wie imaginair naar een dergelijk apparaat kijkt, ziet het verdwijnen in ruimtetijd en weer tevoorschijn komen elders in ruimtetijd. Want in elk hologram bestaat de indruk van een

uitdijend Big Bang-heelal. Op die manier kan naar verder weg gelegen delen van het heelal gereisd worden zonder dat reizigers aan veroudering onderworpen zijn. Ze worden namelijk ook niet aan de lichtsnelheid blootgesteld in het vier dimensionale big Bang-heelal. Dit principe werkt anders dan 'wormgaten' in een Big Bang-heelal, want het gaat niet om extreme buiging van ruimte op kwantum-schaal, maar om 'tijdsprongen' op sub-kwantum-schaal. Het RTHU is veel groter dan het Big Bang heelal.

Ether door sub-kwantum-kinetica.

Sub-kwantum kinetica brengt de "ether" terug. Dat schrikt fysici en kosmologen af. Want "ether" was verbannen door speciale relativiteit met lichtsnelheid in het platte Big Bang-heelal. Maar in het RTHU bestaan er vele ten opzichte van elkaar verschoven hologrammen, waarbij elk van die hologrammen de indruk wekt een uitdijend Big Bang-heelal te zijn. Vandaar dat het begin van de wereld (oftewel de Big Bang) geen oorsprong heeft. De oorsprong is vervangen door elk voorafgaand "plat" hologram in de Hologram Carrousel.

Aanpassing van de Einstein-vergelijking naar een Hologram-carrousel.

De samenvatting weerspiegelt mijn in cascade geschreven vixra-artikelen over het RTHU model. Steeds staat het eindresultaat voorop. Elk eindresultaat wordt telkens onderbouwd. De aanpassing van de Einstein vergelijking moet gezien worden in twee stappen. Daarin is stap-1 buiging van ruimtetijd in samenhang met de uitwisseling van energie en massa door de Einsteins energie tensor, die is weergegeven aan weerszijden van het gelijkteken in de Einstein-vergelijking en dimensioneel in $[1/m^2]$ staat, maar dimensioneel is veranderd in een product van nieuwe donkere energie en mijn hologram-tensor aan weerszijden van het gelijkteken. De praktische bedoeling daarvan is dat het Planck-oppervlak in het Big Bang heelal vervangen is door een rotatie van de Planck-energie. Maar in stap-2 worden beide kanten van het gelijkteken nogmaals met mijn Hologram Tensor bewerkt. Dit laat een kracht [per s^2] ontstaan en het Einstein-Big Bang-heelal in zijn geheel roteren. Dat levert een Hologram Carrousel op. Indien deze extra-rotatie wordt stilgezet dan ontstaat een Big Bang-heelal voor elk hologram in de Hologram Carrousel.

Het overzicht van mijn artikelen is te vinden op www.vixra.org/author/dan_visser .

Mijn Manuscript.

In dit artikel is mijn manuscript opgenomen dat begint met de aanpassing van de Einstein-vergelijking. Alles wat daarna volgt is een samenvatting van wat ik in mijn artikelen heb uitgewerkt. Daarbij kom ik tot de overtuiging dat een Big Bang-heelal niet fundamenteel is en dus ook geen oorsprong van de wereld is.

Nieuwe Formule voor het Heelal

(de nieuwe formule vervangt de Einstein-formule)

Het nieuwe heelal is een roterend Hologram Model, oftewel het Roterend Torus Hologram Universum (RTHU). De formule daarvoor is:

$$(A) \quad \underbrace{G_{uv} \cdot Y \cdot T_{dan}^2}_{\left[\frac{N}{s^2}\right]} = \underbrace{\frac{8\pi G}{c^4} \cdot T_{uv} \cdot T_{dan}}_{\left[\frac{N}{s^2}\right]}$$

D.C.M. Visser =
Dan Visser
Almere,
Nederland
4 mei 2021

Deze formule vervangt de Einstein-formule:

$$(B) \quad \underbrace{G_{uv} + \Lambda g_{uv}}_{\left[\frac{1}{m^2}\right]} = \underbrace{\frac{8\pi G}{c^4} \cdot T_{uv}}_{\left[\frac{1}{m^2}\right]}$$

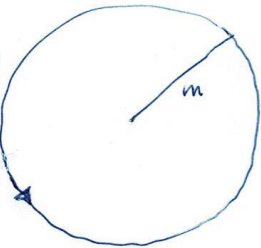
In het RTHU is $\bullet Y \cdot T_{dan} \equiv + \Lambda g_{uv}$ en vervangt de Planckgrens door het product van donkere energie (Y) en mijn Hologram Tensor (T_{dan}); deze roteert de Planckenergie en geeft kwantum-zwaartekracht. De extra T_{dan} aan weersijden van het = gelijkteken geeft een extra rotatie en geeft sub kwantum-zwaartekracht, die ik donkere materie kracht heb genoemd. Dit betekent, dat zodra $T_{dan} \left[\frac{m^6}{s^6}\right]$ dimensioneel wordt weggedeeld (door de extra rotatie eruit), er een Big Bang Heelal ontstaat volgens de Einstein-formule (dus: Het RTHU pór T_{dan}), als volgt:

$$(C) \quad \text{voor } G_{21} \quad \frac{\left[\frac{N}{s^2}\right]}{\left[\frac{m^6}{s^6}\right]} = \frac{\left[\frac{m^4}{s^4}\right]}{\left[\frac{m^6}{s^6}\right]} = \left[\frac{1}{m^2}\right]$$

Uit één van de vele Big Bang heelallen van het RTHU.

(D) Omgekeerd geldt dat extra-rotatie van de Einstein-formule een roterende torus-energie oplevert, oftewel het RTHU, dwz:

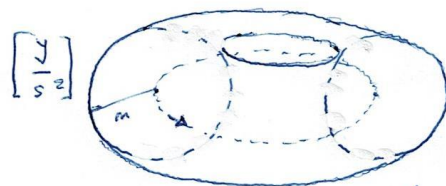
$$\left[\frac{1}{m^2} \right] \cdot \left[\frac{m^6}{s^6} \right] = \left[\frac{N}{s^2} \right]$$



in alle richtingen 2D dimensionele rotatie van een kracht per s^2

$$\left[\frac{Nm}{s^2} \right] = \left[\frac{J}{s^2} \right]$$

oftewel: in alle richtingen 3D geeft een energie-torus:



Het RTHU !

- (A) = In het RTHU heeft de wereld geen oorsprong!
- (C) = Het stilzetten van de 2^{de} rotatie (dwz. delen door Tdan) laat de Einstein-formule ontstaan, die een heelal mét oorsprong voorstelt, oftewel De Big Bang.

I De omzetting van de Einstein-vergelijking naar de Hologram-Heelal-vergelijking van DAN.

1) Dimensioneel Einstein samengevat:

$$G_{uv} + \Lambda g_{uv} = \frac{8\pi G}{c^4} \cdot T_{uv}$$

$$G_{uv} + \Lambda g_{uv} = \frac{8\pi G}{c^2} \cdot \frac{T_{uv}}{c^2}$$

$R_{uv} - \frac{1}{2} R g_{uv}$ (Einstein tensor); Dimensioneel weergeven, als volgt:

$$\left[\frac{1}{m^2} \right] - \left[\frac{1}{m^2} \right] \cdot [1] + \left[\frac{1}{m^2} \right] \cdot [1] = \left[\frac{m}{kg} \right] \cdot \left[\frac{kg}{m^3} \right]$$

$$\left[\frac{m^2}{m \cdot m} \right] \quad \Lambda = \frac{8\pi G \rho_{vac}}{c^2} \quad \uparrow$$

T_{uv} (Einstein energie tensor)

$$\frac{J}{m^3} = \frac{Nm}{m^3} = \frac{N}{m^2} \text{ (druk)}$$

(vacuüm dichtheid)

$$\frac{8\pi G \rho_{vac}}{c^2}$$

$$\frac{T_{uv}}{c^2}$$

$$\left[\frac{W}{m^2} \cdot \frac{s^2}{m^2} = \frac{kg \frac{m}{s^2} \cdot s^2}{m^4} \right]$$

(vacuüm energie dichtheid)

$$\Lambda = 8\pi G \rho_{vac} c^2$$

$$\left[\frac{1}{s^2} \cdot \frac{m^2}{s^2} = \frac{m^2}{s^4} \right]$$

$$\left[\frac{1}{s^2} \right]$$

$$\frac{8\pi G \rho_{vac}}{c^2}$$

$$= \left[\frac{kg}{m^3} \right] \text{ (massa dichtheid)}$$

$$\left[\frac{m^4}{s^4} \cdot \frac{1}{m^2} \right]$$

$$\left[\frac{1}{s^2} \cdot \frac{s^2}{m^2} = \frac{1}{m^2} \right]$$

$$\frac{8\pi G}{c^2} \left[\frac{1}{m^2} \cdot \frac{m^3}{kg} = \frac{m}{kg} \right]$$

$$\frac{8\pi G}{c^2} \cdot \frac{T_{uv}}{c^2}$$

$$\left[\frac{m}{kg} \cdot \frac{kg}{m^3} = \frac{1}{m^2} \right]$$

Voor $\Gamma=1$ $\left[\frac{N}{m^2} \right]$ (druk)

Dimensioneel Links = Rechts

of $\left[\frac{Nm}{m^3} = \frac{J}{m^3} \right]$ (energie dichtheid)

$$\left[\frac{1}{m^2} \right] = \left[\frac{1}{m^2} \right]$$

$T_{uv} = 0$ (leeg vacuüm)

$\Lambda = 0$ (geen versnelde uitdijng)

$\Lambda =$ donkere energie

1

$$\Lambda_{AR} \approx 10^{-9} \left[\frac{J}{m^3} \right] \quad \text{verschil factor } 10^{122}$$

$$\Lambda_{KT} \approx 10^{113} \left[\frac{J}{m^3} \right]$$

$$\Lambda_{AR-BB} \approx 10^{-7} \left[\frac{J}{m^3} \right] \quad \text{"antropisch principe" (Weinberg-berekening)}$$

$$\Lambda_{KT} \approx 10^{113} \left[\frac{J}{m^3} \right] \quad \text{verschil factor } 10^{120} \text{ wordt}$$

AR-BB = "alleen" levensvatbaar en waarneembaar in Big Bang heelal. (BB) van de mensheid.

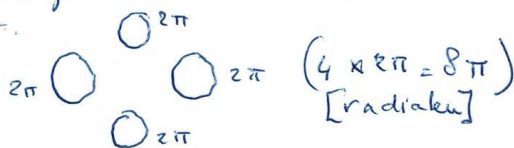
AR = Algemene Relativiteit

KT = Kwantum Theorie.

c = lichtsnelheid

G = Gravitatie Constante

$8\pi = 2\pi + 2\pi + 2\pi + 2\pi$ en verdraait het Einstein-kruis als een grote massadichtheid de ruimte tijd buigt.



R_{uv} = Ricci tensor

g_{uv} = metrische tensor

R = spoor tensor

2) De omzetting gaat dimensioneel $[\Lambda_{g_{uv}}] \rightarrow [G_{dan}]$

als volgt: $[\Lambda \cdot g_{uv}] \leftrightarrow [Y \cdot T_{dan}^2 \cdot (m^2)^2 \cdot \left(\frac{1}{s^3}\right)^2]$; zie ①

$$\left[\begin{array}{l} \text{donkere energie (BB)} \\ \text{maal } g_{uv} \\ \text{de metrische} \\ \text{tensor (BB)} \end{array} \right] \leftrightarrow \left[\begin{array}{l} \text{(donkere energie (RTHU))} \\ \text{maal} \\ \text{het kwadraat van de} \\ \text{hologram-tensor (T}_{dan}) \end{array} \right]$$

RTHU = Roterend Torus Hologram Universum

3) Uitwerking dimensionele verandering.

3

$$G_{uv} \cdot G_{dam} = \frac{8\pi G}{c^4} T_{uv} \cdot T_{dam}$$

$\underbrace{\quad\quad\quad}_{[\frac{1}{m^2}]} \quad \underbrace{\quad\quad\quad}_{[\frac{1}{m^2}]} \quad \underbrace{\quad\quad\quad}_{[\frac{1}{m^2}]} \quad \underbrace{\quad\quad\quad}_{[\frac{m^6}{s^6} = \frac{m^4}{s^4} \cdot \frac{m^2}{s^2}]}$

o

$$Y \left[T_{dam}^2 (m^2)^2 \cdot \left(\frac{1}{s^3}\right)^2 \right] \quad \left[\frac{1}{m^2} \right] \left[\frac{1}{G} N \cdot \frac{m^2}{s^2} \right]$$

voor $G=1$

$$Y \cdot \frac{m^2}{s^6} \left[\left(\frac{m^6}{s^6} \right)^2 \right] \cdot \left[\frac{m^4}{s^6} = \frac{m^6}{s^6} \cdot \frac{1}{m^2} \right] \quad \left[\frac{1}{m^2} \right] \left[N \cdot \frac{m^2}{s^2} \right]$$

$$\left[\frac{m^4}{s^4} \cdot \frac{1}{m^2} \cdot \frac{m^2}{s^2} \right] \quad \left[\frac{N}{s^2} \right]$$

$$\left[\frac{1}{G} N \cdot \frac{m^2}{s^2} \right]$$

(voor $G=1$)

$$\left[\left(\frac{m^6}{s^6} \right)^2 \cdot \frac{N}{s^2} \right]$$

$$\left[\left(\frac{m^5}{s^6} \right)^2 \cdot \frac{Nm^2}{s^2} \right]$$

$$\left[\left(\frac{m^4}{s^4} \right)^2 \cdot \frac{m^2}{s^4} \cdot \frac{Nm^2}{s^2} \right]$$

$$\left[\left(\frac{1}{G} N \right)^2 \cdot \frac{m^2}{s^4} \cdot \frac{Nm^2}{s^2} \right]$$

$$\left[\left(N \cdot \frac{m}{s^2} \right)^2 \cdot \frac{Nm^2}{s^2} \right] \quad \text{(voor } G=1)$$

Kwantumvermogen voor een vlakke Planckgrens

$\frac{h}{s^2} = 1$
(d.w.z. maximaal)

$$Y \cdot \frac{m^2}{s^6} \left[\left(\frac{Y}{s^2} \right)^2 \cdot \frac{Nm^2}{s^2} \right]$$

$$Y \cdot \frac{m^2}{s^6} \left[\frac{Nm^2}{s^2} \right] = \left[Y \cdot \frac{m}{s^2} \right]$$

Plancktijd krijgt een Angular Momentum

Versnellend energie oppervlak introduceert een hoek-momentum

pcmv
04052021

II

Zo wordt de Einstein-vergelijking aangepast: 4
De Hologram Heelal Vergelijking van DAN
met de Hologram Tensor van DAN (T_{dan})

HVD

$$G_{uv} \cdot \Psi \cdot \frac{w}{T_{dan}} = \frac{8\pi G}{c^4} T_{uv} \cdot \frac{w}{T_{dan}}$$

$$\left[\frac{1}{m^2} \right] \left[\frac{Nm^2}{s^2} \right] = \left[\frac{1}{m^2} \right] \cdot \left[\frac{Nm^2}{s^2} \right]$$

$$\left[\frac{N}{s^2} \right] = \left[\frac{N}{s^2} \right]$$

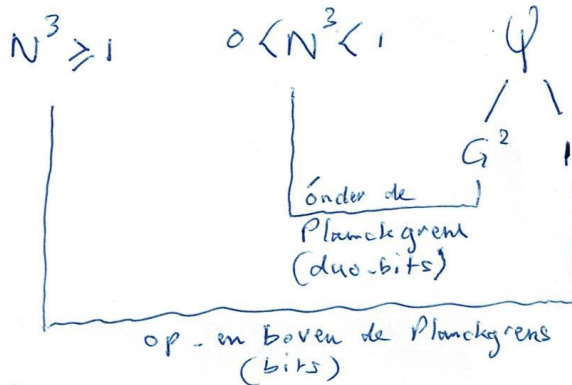
∇ ∇
 ∘ ∘

w = waarde T_{dan} (De hologram tensor van DAN = dan visser Almere, NL)
 (verder als)

$$T_{dan} = \pm \frac{k_{de}^{\frac{1}{2}} \cdot E_p}{N^3 \cdot G} \cdot \Psi \left[\frac{m^6}{s^6} \right]$$

De hologram-tensor vervangt de Planckgrens

ii



$k_{de}^{\frac{1}{2}}$ = torus-versnelling

E_p = Planck energie

N = integers (\mathbb{R} en \mathbb{C})

G = Newton zwaartekracht constante

Ψ = operator om G onder de Planckgrens te betrekken bij het heelal-model RTHH.

DCMN
 04052021

De Hologram Tensor (T_{dan}) maakt van het klassieke Big Bang heelal een Roterend Torus Hologram Universum (RTHU).

T_{dan} verbreekt (verfijnt) de energie onder de Planckgrens: van $[\frac{1}{m^2}]$ links en rechts naar $[\frac{N}{s^2}]$ links en rechts

T_{dan} heeft als dimensie $6D_{ruimte}$ per $6D_{tijd}$.

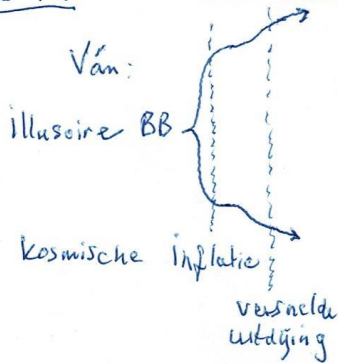
Dat wil zeggen dat er snelheid in zes dimensie extra meedoet in de Einstein energie momentum tensor T_{uv} .

Maar 4 wil ook zeggen dat er 12 D extra komt bovenop de klassieke $4D = 3D_{ruimte} + 1D_{tijd}$ van het illusoire Big Bang heelal (BB).

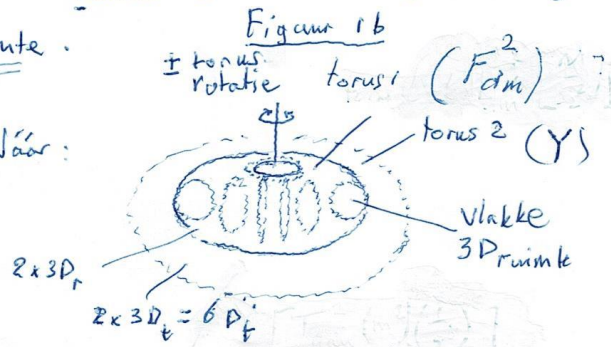
Of anders geformuleerd: Er komt ruimtelijk $3 \times 2D_{tijd}$ bij. Dat is gelijkwaardig aan $2 \times 3D_{tijd}$.

En er komt $3 \times 2D_{ruimte}$ bij. Dat is gelijkwaardig aan $2 \times 3D_{ruimte}$.

Figuur 1a



Naar:



$$Y = Y^S, S^6$$

Y omvat alle Y^S in het $6D_{tijd}$ domein.

Y^S is een specifieke torus 2, die torus 1 doorweeft en even groot is als torus 1.

III Dubbel Torus Theorie

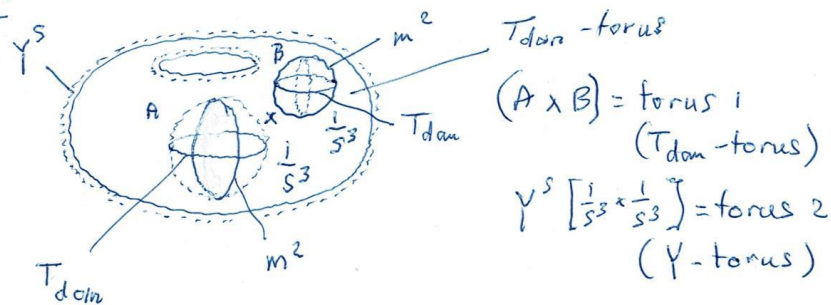
Een specifieke Y is Y^S

$$Y^S = \left[\left(\frac{m^2}{s} \right) \cdot s^2 \cdot \frac{1}{s^6} \right]$$

$$Y^S = \left[\left(\frac{m^6}{s^6} \cdot m^2 \right)^2 \right]$$

$$Y^S = \left[T_{dan}^2 \cdot (m^2)^2 \cdot \left(\frac{1}{s^3} \right)^2 \right]$$

Figuur 2a



$[T_{dan}^2 \cdot (m^2)^2]$ is een torus

per tijd-torus $Y^S \left[\frac{1}{s^6} \right]$.

De T_{dan}^2 -torus roteert in 3 D tijd, twee meer dan in het Big Bang heelal.

De Y^S -torus (gestippeld) is even groot als de T_{dan} -torus:

$(A \times B)$ is een Dubbel Torus !!

IV i) Diepere Dimensionele Analyse

(zie G_{dan} in ①) $Y^S \left[T_{dan}^2 (m^2)^2 \left(\frac{1}{s^3}\right)^2 \right] = Y^S \left[T_{dan}^2 \left(\frac{m^2}{s^3}\right)^2 \right]$
zie figuur 2b

$$Y^S \left[\left(\frac{m^6}{s^6}\right)^2 \left(\frac{m^2}{s^3}\right)^2 \right] = Y^S \left[T_{dan}^2 \cdot \frac{m^4}{s^4} \cdot \frac{1}{s^2} \right]$$

$$Y^S \left[\left(\frac{m^2}{s}\right)^8 \cdot s^2 \cdot \frac{1}{s^6} \right] = Y^S \left[T_{dan}^2 \cdot \frac{1}{G} \cdot \frac{1}{s^2} \right]$$

voor $G = 1$ volgt:

$$Y^S \left[\left(\frac{m^2}{s}\right)^8 \cdot s^2 \cdot \frac{1}{s^6} \right] = Y^S \left[T_{dan}^2 \cdot \frac{N}{s^2} \right]$$

$Y = (\text{alle } Y^S)$
 (zie figuur 1b)

$$Y \left[\left(\frac{m^2}{s}\right)^8 \cdot s^2 \cdot \frac{s^6}{s^6} \right] = Y \cdot T_{dan}^2 \left[\frac{N}{s^2} \right]$$

①

$$Y \left[\left(\frac{m^2}{s}\right)^8 \cdot s^2 \right] = Y \cdot T_{dan}^2 \left[\frac{N}{s^2} \right]$$

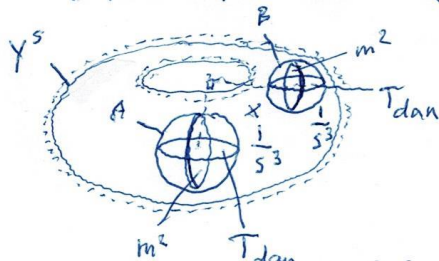
②

$$Y \left[\left(\frac{m^2}{s}\right)^8 \cdot s^2 \right] [m^2] = Y \cdot T_{dan}^2 \left[\frac{Nm^2}{s^2} \right]$$

② volgt uit een aparte afleiding ③

deze is opgenomen in de Hologram Meetal vergelijking (HVD).

Figuur 2b:



$A \times B = \text{torus}$

DCMV
04 05 2021

De torus $Y^S \left[T_{dan}^2 \cdot \left(\frac{m^2}{s^3}\right)^2 \right] = \left[T_{dan} \cdot \frac{m^2}{s^3} \right]^2$

2) De aparte afleiding (zie C)

(3)
$$\frac{Y}{F_{dm}^2} = n^2 \underbrace{\left(\frac{1}{m}\right)^2}_{[m^{-2}]} \underbrace{\left(F_N^{G=1}\right)^2}_{[m^2 s^2]} [m^2]$$

(zie ook II
grondslag
gedachten-experiment)

Daarin is F_{dm}^2
een donkere materie
kracht vanuit onder de
Planckgrens en
uitgevoerd in (6)
en doet mee in het
*THU.

(3d) h.u.v. ten 1^{ste}:

zie (1)
$$\frac{Y \left[\left(\frac{m^2}{s}\right)^8 \cdot s^2\right]}{F_{dm}^2 \left[\left(\frac{m^2}{s}\right)^7 \cdot s\right]} = n^2 \left(F_N^{G=1}\right)^2 [m^2]$$

zie (3)
$$F_{dm}^2 \left[\left(\frac{m^2}{s}\right)^7 \cdot s\right] \quad F_N \text{ is de Newtonkracht op de Planckgrens}$$

h.u.v. ten 2^{de} (alles maal $[m^2]$)

(4)
$$\frac{Y \left[\left(\frac{m^2}{s}\right)^8 \cdot s^2\right] [m^2]}{F_{dm}^2 \left[\left(\frac{m^2}{s}\right)^7 \cdot s\right] [m^2]} = \left(F_N^{G=1}\right)^2 [m^2]^2$$

h.u.v.: (geen n^2 meer, want $n=1$ op de Planckgrens, dus is ook $\left(\frac{1}{m}\right)^2 = 1$)

zie (2)
$$\frac{Y \cdot T_{dan}^2 \left[\frac{Nm^2}{s^2}\right]}{F_{dm}^2 \left[\left(\frac{m^2}{s}\right)^7 \cdot s\right] [m^2]} = \left(F_N^{G=1}\right)^2 [m^2]^2$$

(op de Planckgrens)

zie (3d)
$$\frac{Y}{F_{dm}^2} \cdot T_{dan}^2 \left[\frac{Nm^2}{s^2}\right] = \left(F_N^{G=1}\right)^2 [m^2]^2$$
 (op de Planckgrens)
want
$$\frac{Y \left[\left(\frac{m^2}{s}\right)^8 \cdot s^2\right] [m^2]}{F_{dm}^2 \left[\left(\frac{m^2}{s}\right)^7 \cdot s\right] [m^2]} = T_{dan}^2 \left[\frac{Nm^2}{s^2}\right] = \left(F_N^{G=1}\right)^2 [m^2]^2$$

$$T_{dan}^2 \left[\frac{Nm^2}{s^2}\right] = \left(F_N^{G=1}\right)^2 [m^2]^2$$

De Newtonkracht op de Planckgrens krijgt een hoek-moment.

Hierdoor ontstaat de formule waaruit blijkt ^{zie} (3)
 Wat T_{dan}^2 is voor $G=1$ ^{zie} (1) en $n^2=1$ ^{zie} (4) en voor
 alle $\psi^S = \psi$.

(5)
$$T_{dan}^2 = \frac{\psi}{F_{dm}^2} \left[\frac{N}{s^2} \right]$$

Hier is dus de Planckgrens ingewisseld voor de Hologram-Tensor van DAN.

Het is de verhouding van de donkere energie (tonus 2) met $2 \times 3 D_t = 6 D_t$ en donkere materie kracht (tonus 1) op de Planckgrens met $2 \times 3 D_r = 6 D_r$ (zie figuur 1).

De (hologram Tensor)² van DAN geeft dus in dit geval die verhouding voor op de Planckgrens.

De details van T_{dan} verduidelijken de werking.

zie (ii)
$$T_{dan} = \pm \frac{k_{de}^{\frac{1}{2}} \cdot E_p}{N^3 \cdot G} \cdot \psi \left[\frac{m^6}{s^6} \right]$$

Voor $\psi = 1$ (dwz $G=1$) volgt $T_{dan} = \pm \frac{k_{de}^{\frac{1}{2}} \cdot E_p}{N^3}$
 met dimensie $\left[\frac{m^6}{s^6} \right]$. Daarbij is $N^3 = 1$

M.u.v. $\left[\frac{m^6}{s^6} = \frac{m^4}{s^4} \cdot \frac{m^2}{s^2} = \frac{1}{G} N \cdot \frac{m^2}{s^2} = N m \cdot \frac{m}{s^2} = J \cdot \frac{m}{s^2} \right]$

dwz $\left(\frac{m}{s^2} \right)$ (energie vlak)
 Joule

Voor een $N^3 > 1$ verkleint de versnelling to.v het energie vlak in Joule. Een relatief groter energie vlak leidt tot ruimte buiging en deeltjes vorming.

DCMU
0405'2021

10

Onder de Planckgrens is de situatie anders :

Voor $0 < N^3 < 1$ ontstaat met $\psi = G^2$

$$T_{dan} = \pm \frac{k_{de}^{\frac{1}{2}} \cdot E_p}{N^3 \cdot G} G^2 \quad \text{oftewel}$$

$$T_{dan} = \pm \frac{k_{de}^{\frac{1}{2}} \cdot E_p \cdot G}{N^3}$$

Daarbij is N^3 een breuk $\frac{1}{P^3}$ met als gevolg:

$$T_{dan} = \pm k_{de}^{\frac{1}{2}} \cdot E_p \cdot G \cdot P^3$$

Dere vergroot $k_{de}^{\frac{1}{2}}$ tot $k_{de}^{\frac{1}{2}} \cdot P^3$. Dus een grotere versnelling.

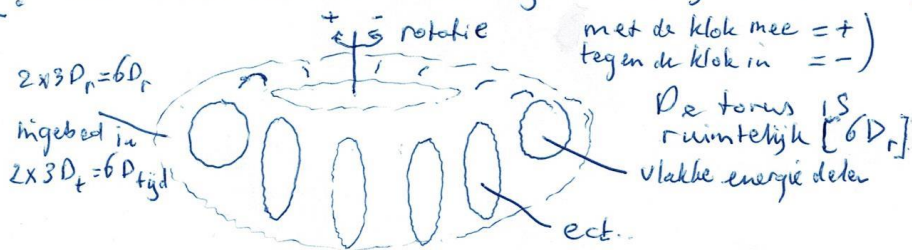
Gelijkwaardig beschouwd krijgt T_{dan} (dimensioneel)

$$\left[\frac{Y}{N^3} \cdot \frac{m}{s^2} \right] = \left[Y \cdot \left(P^3 \cdot \frac{m}{s^2} \right) \right] \text{ een grotere dimensie}$$

fwel: een relatief kleiner energie vlak.

Dat betekent Verbrokkeling van de energie tot een hologram van energie-delen (behoud momentum).

figuur 3: Er ontstaat een ruimtelijke hologram torus ∇



De torus is ingebed in een $6D_{tijd}$ omgeving van (nieuwe) donkere energie Y , waarbij dus geldt

dat $T_{dan}^2 = \frac{Y}{F_{dus}^2} \left[\frac{N}{s^2} \right]$ volgens (5).

3) Onder de Planckgrens: "duo-bits"

(De verbrekking onder de Planckgrens)

$$0 < N^3 < 1 \quad \psi = G^2$$

Onder de Planckgrens

$$T_{\text{dau}} = \pm \frac{k_{\text{de}}^{\frac{1}{2}} \cdot E_p}{N^3 \cdot G} \quad \psi = \pm \frac{k_{\text{de}}^{\frac{1}{2}} \cdot E_p \cdot G}{N^3}$$

zie (ii)

$$\left[\frac{m}{s^2} \cdot y \cdot \frac{m^3}{\text{kg} s^2} \right]$$

$$\left[\frac{m}{s^2} \cdot \text{kg} \frac{m^2}{s^2} \cdot \frac{m^3}{\text{kg} s^2} \right]$$

$$\left[\frac{m^6}{s^6} \right]$$

$$\left[\frac{m^2}{s} \cdot \frac{m}{s^2} \cdot \frac{m^2}{s} \cdot \frac{m}{s^2} \right]$$

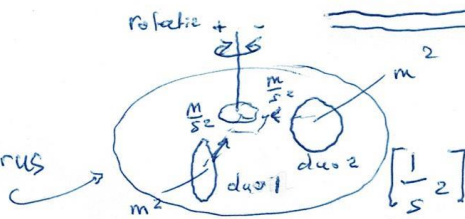
duo-1 duo-2

duo-bits !

DCMV
04.05.2021

figuur 4:

Dit is een roterende 'duo-bit' torus



vacuum dichtheid ρ_{vac}

Dit correspondeert met de vacuum dichtheids dimensie

$$\left[\frac{m^3}{\text{kg} s^2} \cdot \frac{\text{kg}}{m^3} = \frac{1}{s^2} \right]$$

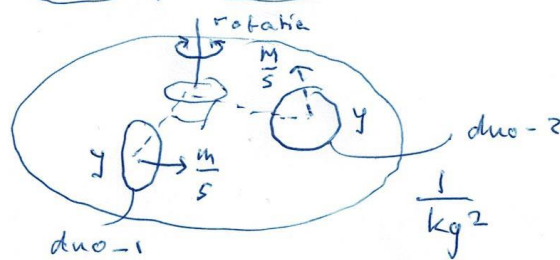
4) 'Duo-bits' als energievlakken
in een roterende torus.

$$\left[\left(\frac{m^2}{s} \cdot \frac{m}{s^2} \right) \times \left(\frac{m^2}{s} \cdot \frac{m}{s^2} \right) \right] =$$

$$\left[\left(\text{kg} \frac{m^2}{s^2} \cdot \frac{m}{s} \right) \times \left(\text{kg} \frac{m^2}{s^2} \cdot \frac{m}{s} \right) \frac{1}{\text{kg}^2} \right] =$$

$$\left[\underbrace{\left(\text{J} \cdot \frac{m}{s} \right)}_{\text{duo-1}} \times \underbrace{\left(\text{J} \cdot \frac{m}{s} \right)}_{\text{duo-2}} \frac{1}{\text{kg}^2} \right] =$$

figuur 5:



'duo-bits' in een roterende torus
pér kg^2

vormen samenhangende
energievlakken waarvan de
energie bepaald wordt door

$$N^3 \text{ in } T_{\text{dan}} = \pm \frac{k_{\text{de}}^{\frac{1}{2}} E_p}{(\text{N}^3 \cdot G)} \cdot \psi$$

T_{dan} is de hologram-tensor in 't RTNU
(zie (5) en (6)); T_{dan} maakt van het
heelal een hologram-heelal.

5) De extra "vrije" dimensionele energie

13

Onder de Planckgrens is de energiedichtheid 10^{120} groter dan blijkt uit de Λ_{AR} (zie (i))

Daarom heb ik de ruimte onder de Planckgrens betrokken bij de kosmologie van het heelal volgens Tdam (de Hologram Tensor) met $0 < N \leq 0$ en $\Psi = G^2$.

Ik heb deze (volgens de kwantumtheorie) veel te grote energiedichtheid verdeeld over de extra ruimte die het Big Bang heelal omvormt tot een veel groter Roterend Torus Hologram Universum (RTHU).

Ruimte neemt toe met $(10^{40})^3$ en 10^{120} neemt af tot 1 (dwz de torus in het RTHU)

Een vlak neemt toe met $(10^{60})^2$ als 10^{120} afneemt tot 1

Een punt neemt toe met 10^{120} als 10^{120} afneemt tot 1

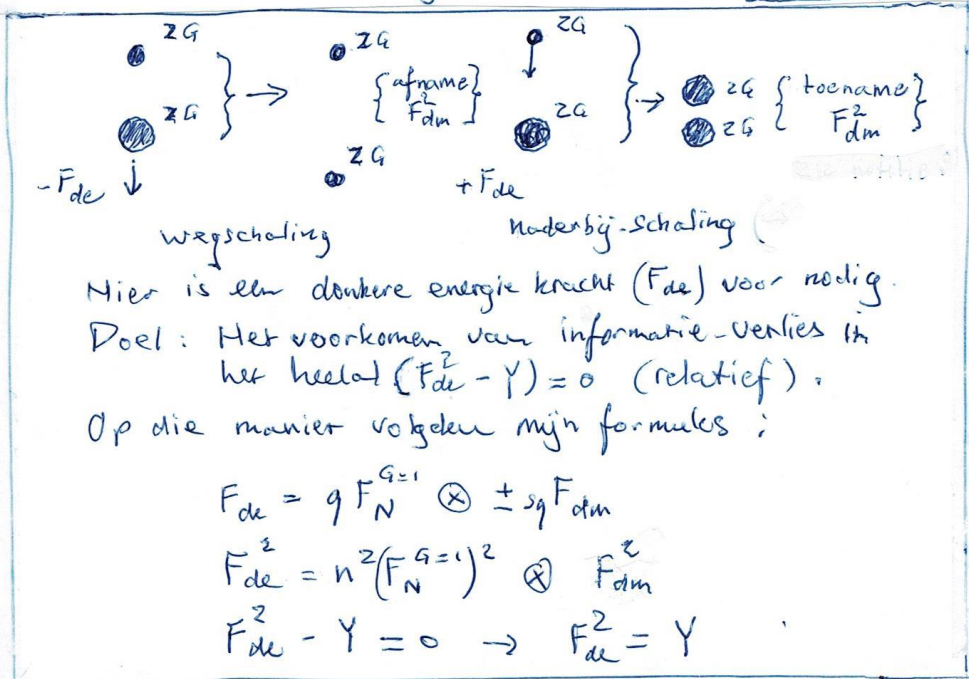
De vlakke ruimtes in de torus van figuur 3 zijn de vlakke Big Bang heelallen in een 12 Druimte-tijd RTHU.

Elke waarnemer ervaart de versnelling/vertraging in een vlak Big Bang heelal terwijl die deel uitmaakt van een Hologram - Carrousel!

V Grondslag gedachten-experiment

De grondslag zijn twee formules.
 Eén voor donkere energie kracht (F_{de}) en
 één voor (nieuwe) donkere energie (Y).
 Deze twee formules volgen uit een
 gedachten-experiment voor het weg-
 en nabij schalen van een groter en
 kleiner zwartgat (ZG)

Figuur 6:



$$F_{de} = g F_N^{G=1} \otimes \pm s_g F_{dm}$$

$$F_{de}^2 = n^2 (F_N^{G=1})^2 \otimes F_{dm}^2$$

$$F_{de}^2 - Y = 0 \rightarrow F_{de}^2 = Y$$

Uit het gedachten-experiment volgen:

$$F_{de} = \pm \frac{c^5 \cdot L_p^2}{2G} m^3 \left[(kg \cdot m)^3 \frac{N}{s} \right]$$

$$Y = -\frac{1}{4} c^4 h^2 G m^6 \left[\underbrace{y^2 \cdot y^2 \cdot (kg \cdot m)^3}_{[N \cdot (ys)^2 \cdot kg^6]} \right]$$

DCMV
04052021

zie blz 37, 38, 39 van mijn boekje
 "Nieuwe Kosmologie"

⑥ De F_{de} (donkere energie kracht) is uitgesplitst:

$$F_{de} = m_p c^2 \otimes \pm \left(\frac{c^2}{G} \cdot l_p^2 \right) \cdot \frac{1}{2} m_D^2 c$$

$$\left[\text{kg} \frac{\text{m}^2}{\text{s}^2} \right] \cdot \left[\text{kg} \cdot \text{m} \right] \cdot \left[\text{kg}^2 \cdot \frac{\text{m}}{\text{s}} \right]$$

$$\left[(\text{kg} \cdot \text{m})^3 \frac{\text{N}}{\text{s}} \right]$$

$m_p c^2$ is de Planck energie E_p ;

$\frac{c^2}{G} \cdot l_p^2$ is de maximale massadichtheid in een Planck oppervlak;

$\frac{1}{2} m_D^2 c$ is de donkere materie gemiddelde impuls onder de Planck grens;

F_{dm}^2 is de donkere materie kracht in het RTHU:

$$F_{dm}^2 = \frac{1}{2} m_D^2 c \cdot \frac{c^2}{G} \cdot l_p^2$$

$$\left[\text{kg}^3 \cdot \frac{\text{m}^2}{\text{s}} \right]$$

$$\left[\text{kg}^2 \cdot (\text{J} \cdot \text{s}) \right]$$



figuur 7:

De gemiddelde donkere materie kracht wordt bepaald door een massa oppervlak met spin.

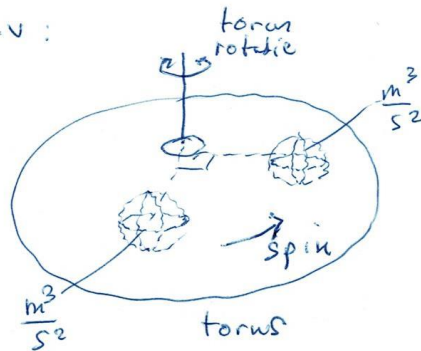
Uit het voorgaande volgt:

Onder de Planckgrens geldt voor de gemiddelde donkere materie kracht (F_{dm}^2)

$$\frac{1}{G} kg = \frac{m^3}{s^2} \text{ met } G=1 \text{ (in het Planck oppervlak):}$$

W.n.v.:

Figuur 8:



F_{dm}^2 is een
spinnende torus

$$(a) \quad F_{dm}^2 \left[\left(\frac{m^3}{s^2} \right)^2 \cdot \underbrace{J \cdot s}_{\text{spin}} \right] = F_{dm}^2 \left[\underbrace{J \cdot \left(\frac{m^2}{s} \right)^3}_{\text{3D dark flow van energie in het oppervlak van de torus.}}$$

De Planckgrens is dus ingewisseld voor een energie torus met een dark flow!

Donkere materie kracht levert dus donkere zwaartekracht vanuit onder de Planckgrens.

Note-1: De donkere materie impuls ($m_p^2 c$) en de positie ervan kan, net als bij baryonische deeltjes, niet met zekerheid bepaald worden; De gemiddelde impuls geeft echter $n^2 \times \frac{1}{2}$ zodat voor $n^2=1$ alle niet-triviale nul-punten van de Riemann-hypothese op de lijn $x=\frac{1}{2}$ liggen.

n^2 is \mathbb{C}

$a+bi$

zie Bijlage.

$$(b) \quad q F_N^{G=1} = m_p \cdot k_{de}^{\frac{1}{2}} \left[\text{kg} \cdot \frac{\text{m}}{\text{s}^2} \right]$$

$$n \cdot q F_N^{G=1} = n \cdot m_p \cdot k_{de}^{\frac{1}{2}}$$

$$\left[\frac{1}{\text{m}^2} \right] \left[\text{m}^2 \right] = \left[\frac{1}{\text{m}} \right] \left[\text{kg} \cdot \frac{\text{m}}{\text{s}^2} \right]$$

$$[\text{m}] = \left[\frac{\text{N}}{\text{m}} \right]$$

h.u.v.:

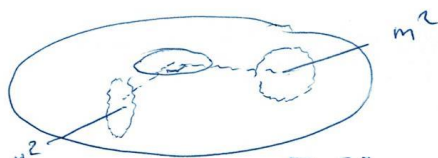
$$n^2 \cdot (q F_N^{G=1})^2 = n^2 \cdot m_p^2 \cdot k_{de}$$

$$\left[\frac{1}{\text{m}^2} \cdot (\text{m}^2)^2 \right] = \left[\frac{1}{\text{m}^2} \cdot \text{N}^2 \right]$$

$$[\text{m}^2] = \left[\left(\frac{\text{N}}{\text{m}} \right)^2 \right]$$

$$[(\text{m}^2)^2] = [\text{N}^2]$$

Figuur 9 :



form = $[\text{N}^2]$
= een kracht in $3D_r$

$$\textcircled{c} F_{de}^2 = n^2 (F_N^{G=1})^2 \otimes F_{dm}^2$$

$$F_{de}^2 - Y = 0 \quad (\text{geen informatie-verlies})$$

$$1^{\text{ste}} \text{ h.u.v. : } Y = F_{de}^2, \text{ oftewel :}$$

$$Y = n^2 (F_N^{G=1})^2 \otimes F_{dm}^2$$

$$F_{dm}^2 = \frac{Y}{n^2 (F_N^{G=1})^2}$$

2^{de} h.u.v. dimensioneel :

$$F_{dm}^2 = \frac{Y \left[\left(\frac{\text{m}^2}{\text{s}} \right)^8 \cdot \text{s}^2 \right]}{n^2 \cdot (F_N^{G=1})^2 [\text{m}^2]}$$

$$F_{dm}^2 = \frac{Y}{n^2 \cdot (F_N^{G=1})^2} \left[\left(\frac{\text{m}^2}{\text{s}} \right)^7 \cdot \text{s} \right]$$

3^{de} h.u.v. voor $n^2=1$ (en zie ook figuur 3 en 5)

$$Y = F_{dm}^2 \cdot T_{dan}^2$$

In het RTHU :

Nieuwe donkere energie (Y),

dwz: Zónder een Planckgrens, maar mét een donkere materie kracht (F_{dm}^2) en een Hologram Tensor (T_{dan}^2).

VI Notes

19

Note-2 : Voor de Hologram Tensor is N^3 opgebouwd uit $n^2 \cdot n$, waarbij in de allereerste uitwerking van T_{da}^2 een $k_n = \sqrt{n^2} = n$ werd gebruikt.

Note-3 : In een eerder artikel ^{*} uit mijn in cascade geschreven artikelen-arsenaal (over een ander heelal-model) werd T_{da}^2 aan T_{uv} toegevoegd en de metriek van Λ (Lambda) vervangen door $n^2 / (FG=1)^2$. Dat was een te beperkte ingreep t.o.v van deze samen vattende beschrijving en latere artikelen.
(* www.vixra.org/abs/1512.0443)

Note-4 : In mijn dimensionale analyse van het samen vattend overzicht heb ik geen Snac-theorieën gebruikt.

DCMV
04052021

VII Bewijzen RTHU

(A) Kleinste versnelling in Zichtbare wereld.

De kleinste Newton-versnelling volgt uit mijn F_{de} (de donkere energie kracht in het RTHU), als volgt:

$$F_{de} = \pm \frac{c^5 D_e}{2} m^3 = \pm \frac{1}{2} c^5 m_v^2 m_{dm}^2 L_p^2$$

$$F_{de} = m_v \left(\sqrt{\frac{1}{2} c^5 L_p^2} \right) \otimes \pm m_{dm}^2 \left(\sqrt{\frac{1}{2} c^5 L_p^2} \right) \quad (1)$$

$$F_{de} = m_v \cdot k_{de}^{\frac{1}{2}} \otimes \pm m_{dm}^2 \cdot k_{de}^{\frac{1}{2}} \quad (2)$$

$$F_{de} = \gamma F_N^{G=1} [m^2] \otimes \pm \gamma F_{dm} \left[\left(\frac{m^2}{s} \right)^3 \right]$$

Zie mijn boekje "Nieuwe Kosmologie" blz 22, 23, 24 en vele artikelen in www.vixra.org/author/dam_visser.

$k_{de} \left[\frac{m^6}{s^6} \right]$

$$(2) \rightarrow (k_{de})_{m_v} \otimes m_{dm} = \underbrace{\left(k_{de}^{\frac{1}{2}} \right)_{m_v} \left[\frac{m}{s^2} \right]}_{\text{op de Planckgrens}} \otimes \underbrace{\left(k_{de}^{\frac{1}{2}} \right)_{m_{dm}} \left[\frac{m^2}{s} \cdot \frac{m^2}{s} \cdot \frac{m^2}{s} \right]}_{\text{onder de Planckgrens}}$$

k_{de} heeft de dimensie van de Hologram Tensor T_{dm} .

 op de Planckgrens: oppervlakte versnelling $\frac{m}{s^2}$

 onder de Planckgrens: rotatie door forus volumestroom per seconde (dwe: Rotatie) $\frac{m}{s^2}$

Uit (1) volgt:

$$\left(k_{de}^{\frac{1}{2}} \right)_{m_v} = \sqrt{\frac{1}{2} c^5 L_p^2} = 1,78 \times 10^{-14} \frac{m}{s^2} \quad \left(\begin{array}{l} \text{experimenteel} \\ \approx 5 \times 10^{-14} \frac{m}{s^2} \end{array} \right)$$

DCMV
04052021

(B) In mijn artikel "Een zwartgat is een
Roterend Hologram Meedel"

20^B

(www.vixra.org/abs/1904.0552)

wordt voor elk zwartgat de waarde
van de forns-versnelling berekend op
 $\approx 6 \times 10^{30} \frac{m}{s^2}$ en vergeleken met de
kleinste Newton-versnelling (onder 1) van
 $1,78 \times 10^{-14} \frac{m}{s^2}$

Dit resulteert in $\approx 3,37 \times 10^{44}$ "duo-bits".
voor (extra) Tolan-rotatie van de Planckenergie.
De hoeveelheid "duo-bits" is dus een maat
voor de versnelling van donkere materie kracht.

"Duo-bits" zijn dus versnellingsdeeltjes!

Het 'muon g-2 experiment' van
Fermilab/Brookhaven en een 'kwantum-bit
dark matter detector' van Fermilab zal
op een andere manier moeten kijken naar
de aanwezigheid van een 5^{de} kracht en/of
dark matter deeltjes.

Volgens de theorie van mijn RTHU gaat 't
om deeltjes die fundamenteel versnellen.
Ze hebben dus niet slechts massa en snelheid
ze versnellen altijd! Dat is dus een
eigenschap van dark matter kracht-deeltjes!

VIII

HoliCOW H_0 uitdijingsnelheid laat
gravitational lensing "passen" in het mijn RTMU.

In het huidige Big Bang Heelal model is de uitdijingsnelheid H_0 ongeveer 10% te klein. In het RTMU niet meer. Dat komt omdat het RTMU donkere materie kracht vanuit onder de Planckgrens laat meedoen in het RTMU. Vandaar dat ik de Einstein-vergelijking deel heb gemaakt van het RTMU door $(+)\Lambda \cdot g_{\mu\nu}$ te vervangen door $(x)Y \cdot T_{\text{dan}}$. Dit betekent: Het product van nieuwe donkere energie (Y) en mijn rotatie-Tensor van de Planck energie (T_{dan}) vervangt lambda (Λ) die materie uit elkaar duwt (en tevens beschouwd wordt als dichtheid van vacuüm) en de metrische tensor ($g_{\mu\nu}$). Door vervolgens de gehele Einstein-vergelijking te roteren met een extra T_{dan} ontstaat het RTMU.

(zie $\square^I(A)$, (B), (C), (D) en I)

In het RTMU zijn afstanden 10^{40} groter om 10^{120} vacuüm energie dichtheid (volgens de kwantummechanica) te vereffenen tot 1. Met Big Bang heelal als onderdeel van het RTMU wordt daardoor ruimtelijk een factor $(10^{40})^3$ groter. De Planck lengte l_p wordt daardoor $10^{40} l_p$. Met gevolg is dat de dimensionele meetlat $\frac{1}{\text{Mpc}}$ in $H_0 \left[\frac{\text{km}}{\text{sMpc}} \right]$ met een specifieke factor groter wordt. Dit leidt tot een $H_0 = 73,3 \left[\frac{\text{km}}{\text{sMpc}} \right]$ in plaats van $67,4 \left[\frac{\text{km}}{\text{sMpc}} \right]$ (www.vixra.org/abs/2007.0037)
Deze grotere H_0 wordt door HoliCOW bevestigd (de kleinere waarde hoort bij 'Planck' en 'DES' projecten op basis van "oerlicht").

DCMV
04052021

IX

Besef van de ziel en waarneming.

In het RTHU zit de "ziel" niet in elke levensvorm, maar in de roterende informatie-dichtheden van het roterende hologram!

"Met verschijnsel 'dood' is een ultieme bescherming tegen beschadiging van 'de ziel'."

Elke levensvorm die het universum ziet en voelt, is deel van het hologram en blijft dat.

Een klassiek Big Bang heelal is schijn in het RTHU. Het RTHU geeft de indruk dat er een Big Bang als oorsprong was, maar in feite is die oorsprong tijdsoneindig door rotatie van het hologram.

Het RTHU is een verzameling schijnbaar, en ten opzichte van elkaar verschoven, Big Bang heelallen. In elke verschoven hologram ziet men een Big Bang met 'oerlicht'. De oorsprong wordt echter bepaald door de achterblijvende hologrammen in het RTHU die nooit meer in dezelfde hoedanigheid terugkomen

Zie verder "De Hologram Carousel":

www.vixra.org/abs/2008.0034

En ook de beide artikelen:

www.vixra.org/abs/2006.0252

www.vixra.org/abs/2006.0213

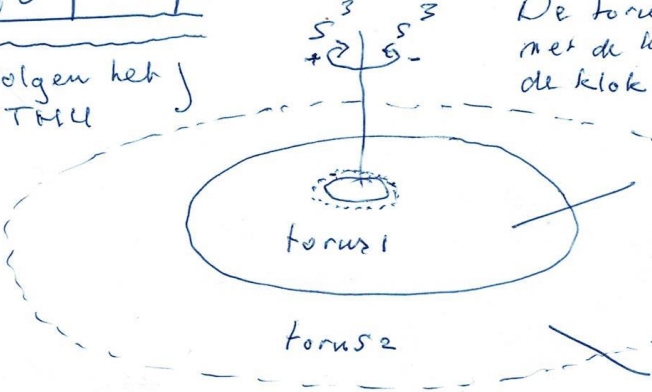
"Donkere materie zonder Planckgrens in het RTHU"

"De Aarde en haar grondfrequentie"

X UFO-principe

(Volgen het RTM)

De torus roteert in tijd (S^3_t) met de klok mee of tegen de klok in.



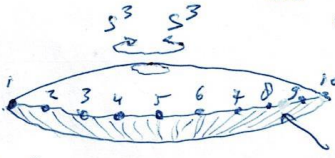
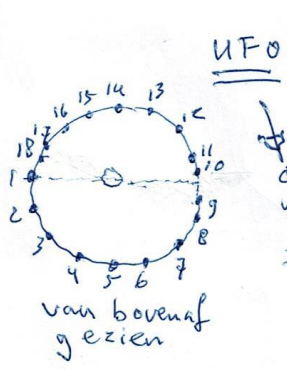
oppervlak (F_{dm}^2) van binnenste torus 1. Er binnen kan zwaartekracht ontstaan!

γ -torus 2 omringt de torus 1, maar doorweeft deze ook per $+S^3$

$$\frac{\gamma}{T_{dan}^2} = F_{dm}^2$$

Met verminderen van donkere materre kracht F_{dm}^2 levert meer zwaartekracht op (F_M).

Dit werpt meer licht op het begrijpen van UFO's. UFO's kunnen op deze wijze tot manifestatie komen vanuit een diepere (verbrokkelde) vacuüm-energie en daar ook weer in verdwijnen. De vorm is voor de hand liggend: Een torus (afgeplat)



gaet in en uit vacuüm!

van opzij: roterende torus (schotel) van opzij gezien: 9 x openingen zichtbaar voor de wisselwerking van:

(zie ook: www.vixra.org/abs/2007.0037)

$$\frac{\gamma}{T_{dan}^2} = F_{dm}^2, \text{ waarvoor geldt:}$$

- F_{de} (wegschalen) levert vermindering F_{dm}^2 en heeft tot gevolg dat T_{dan}^2 groter wordt (dwe meer zwaartekracht)
- + F_{de} (naderbij-schalen) heeft tot gevolg minder zwaartekracht.

XI

Mathematische ontdekking bij de
versmelting van zwarte gaten
(Scott Field en Caurav Khanna)

Het meten van zwaartekrachtgolven
vereist een zo snel mogelijke berekening
van de 10 vergelijkingen van Einstein.
De ontdekking houdt in dat in plaats
van de twee massa's van versmelten
zwarte gaten er nu zo goed één als
een puntmassa beschouwd kan worden.
Het rubriceren van massa en spin in de
voorspelling van de zwaartekrachtgolf-
karakteristiek kan daardoor sneller
gedaan worden.

Waarom verbaast dat mij niet? Wanneer
twee zwarte gaten niet in het Big Bang
heelal maar in het RTHU beschouwd
worden dan is het onderlinge verschil
tussen een massa en een puntmassa
verwaarloosbaar, omdat het RTHU
veel groter is en alle hologram heelal
bevat die de impressie van een Big Bang
geven. In het RTHU is de versnelling
binnenin zwarte gaten $\approx 6 \times 10^{30} \frac{m}{s^2}$
door toepassing van de Hologram - Tolman-
tensor voor zwarte gaten (zie mijn artikel in
www.vixra.org/abs/1901.0552) voor $N=1$ en
 $\psi = G = 1$. Voor $0 < N < 1$ wordt de versnelling
groter, en voor $N \geq 1$ wordt die kleiner.
De kleinste waarde is $1,73 \times 10^{-14} \frac{m}{s^2}$

DCMV
04 05 2021

Zie voor al mijn afzonderlijke vixra-artikelen:

www.vixra.org/author/dan_visser